

К 70-ЛЕТИЮ ИРЭ  
ИМ. В.А. КОТЕЛЬНИКОВА РАН

УДК 621.391.01

ИССЛЕДОВАНИЕ ПОМЕХОУСТОЙЧИВОСТИ  
ОПТИМАЛЬНОГО ПОСИМВОЛЬНОГО ПРИЕМА  
ЧАСТОТНО-ЭФФЕКТИВНЫХ СИГНАЛОВ С КОРРЕКТИРУЮЩИМ  
КОДИРОВАНИЕМ В НЕДВОИЧНЫХ ПОЛЯХ ГАЛУА

© 2023 г. Л. Е. Назаров\*

Фрязинский филиал Института радиотехники и электроники им. В.А. Котельникова РАН,  
пл. Введенского, 1, Фрязино Московской обл., 141190 Российская Федерация

\*E-mail: levnaz2018@mail.ru

Поступила в редакцию 26.04.2023 г.

После доработки 26.04.2023 г.

Принята к публикации 23.05.2023 г.

Дано описание алгоритма оптимального посимвольного приема сигнальных конструкций на основе блоковых помехоустойчивых кодов в недвоичных полях Галуа. Показано, что основу данного алгоритма составляет алгоритм быстрого спектрального преобразования в базисе Уолша–Адамара с размерностью поля Галуа. Показано, что результирующая сложность анализируемого алгоритма посимвольного приема определяется размерностью дуального кода, что обуславливает перспективность его применения для блоковых помехоустойчивых кодов с высокой кодовой скоростью (с низкой избыточностью). Приведены результаты моделирования алгоритма посимвольного приема с целью исследования помехоустойчивости для ряда частотно-эффективных цифровых сигналов с квадратурно-амплитудной и амплитудно-фазовой манипуляциями (с коэффициентом частотной эффективности 3, 4 и 6 бит/с/Гц) в сочетании с корректирующим кодом с проверкой на четность. Показано, что применение алгоритма посимвольного приема обеспечивает энергетический выигрыш до 1.5...3.0 дБ по отношению к передаче и приему рассматриваемого ряда сигналов без кодирования.

DOI: 10.31857/S003384942309019X, EDN: RHJWQA

## ВВЕДЕНИЕ

Достижение требуемой информационной скорости передачи при разработке систем связи при ограниченной частотной полосе радиоканала обеспечивают с помощью цифровых сигналов при увеличении их частотной эффективности  $m$  (бит/с/Гц) [1–4]. В этот класс входят цифровые сигналы с двумерными “созвездиями” и с различными видами манипуляции (фазовой, амплитудной и др.), интенсивно используемые в приложениях [1, 5, 6].

Вместе с тем увеличение значений  $m$  цифровых сигналов при постоянной мощности передающих устройств приводит к деградации помехоустойчивости (например, вероятности ошибки на бит  $P_b$ ) [1]. В этом случае повышение надежности передачи по каналам с помехами возможно обеспечить путем применения сигнальных конструкций на основе цифровых частотно-эффективных сигналов в сочетании с корректирующим кодированием [7, 8].

Известны два метода оптимального приема этих сигнальных конструкций: посимвольный

прием, минимизирующий вероятность ошибки  $P_b$ , и метод максимального правдоподобия, минимизирующий вероятность ошибки на дискретное сообщение [1, 9, 10].

Теория посимвольного приема сигнальных конструкций представляет самостоятельное научное направление [1]. Алгоритмы посимвольного приема для сигнальных конструкций на основе ряда корректирующих кодов (турбо-кодов, низкоплотностных кодов и др.) обеспечивают достижение вероятностных характеристик, близких к предельным характеристикам и определяемых пропускной способностью каналов с аддитивным белым гауссовским шумом (АБГШ) [4, 5, 11–13].

Актуальной является проблема разработки, обобщения и исследования алгоритмов посимвольного приема частотно-эффективных цифровых сигналов в сочетании с корректирующими кодами в недвоичных полях Галуа  $GF(2^m)$ , объем которых равен объему сигнальных “созвездий”  $M = 2^m$  [8, 11]. Этот подход позволяет расширить класс сигнальных конструкций, перспективных

для использования в информационных системах, что согласуется с современным направлением развития теории посимвольного приема и теории помехоустойчивых кодов в недвоичных полях.

## 1. ПОСТАНОВКА ЗАДАЧИ

Пусть  $\vec{A} = (a_i; 0 \leq i \leq k - 1)$  — последовательность  $k$  информационных символов как элементов поля Галуа  $GF(2^m)$ , формируемого по модулю неприводимого примитивного многочлена  $\gamma(x)$  степени  $m$  [7]. Элементы поля  $a_i$  (информационные символы) представляются многочленами:

$$a_i = \sum_{p=0}^{m-1} \alpha_p(a_i)x^p,$$

где  $\alpha_p(a_i) \in GF(2)$  [7].

Кодовое слово  $\vec{B}$  корректирующего кода в поле  $GF(2^m)$ , соответствующее  $\vec{A}$ , задается как  $\vec{B} = \vec{A} \cdot H$  [7, 11]. Здесь  $H$  — порождающая матрица корректирующего кода в систематическом виде с элементами поля  $GF(2^m)$ , ее размерность равна  $n \times k$  ( $n$  - длина кодовых слов).

Кодовые символы  $b_i$  ( $0 \leq i \leq n - 1$ ,  $a_i = b_i$  для  $0 \leq i \leq k - 1$ ) кодового слова  $\vec{B}$  сопоставляются цифровым сигналам с “созвездием” объемом  $2^m$ , которые передаются по радиоканалам.

На вход решающего устройства с выхода сигнального демодулятора поступает дискретная реализация  $\vec{Y} = (\dot{y}_l; 0 \leq l \leq n - 1)$ ,  $\dot{y}_l$  — “мягкие” (многоуровневые) комплексные отсчеты. Оптимальное посимвольное правило приема заключается в вычислении апостериорных вероятностей  $Pr(a_i = \beta | \vec{Y})$ ,  $\beta \in GF(2^m)$ , на основе которых принимаются решения относительно переданных символов  $\hat{a}_i$  и коэффициентов  $\hat{\alpha}_p(a_i)$  с использованием правила [9, 8]:

$$\hat{a}_i = \max_{\beta \in GF(2^m)} (Pr(a_i = \beta | \vec{Y})). \quad (1)$$

В работах [10, 15] приведено описание разработанной процедуры вычисления апостериорных вероятностей  $Pr(a_i = \beta | \vec{Y})$ . Основу этой процедуры составляет алгоритм быстрого спектрального преобразования в базисе Уолша–Адамара с размерностью  $2^m$  и функциональное преобразование вычисленных спектральных составляющих в пространстве над  $GF(2^m)$  с размерностью дуального кода  $n - k$  для оценивания значений  $\hat{a}_i$ . Приведены также результаты исследований помехоустойчивости этого алгоритма для класса цифровых

сигналов с многоуровневой фазовой манипуляцией [12].

Цель работы — исследование помехоустойчивости рассматриваемого алгоритма оптимального посимвольного приема для цифровых сигналов с квадратурно-амплитудной (КАМ-М) и амплитудно-фазовой (АФМ-М) манипуляциями с повышением их частотной эффективности, интенсивно используемых в информационных системах различного назначения.

## 2. АЛГОРИТМ ОПТИМАЛЬНОГО ПОСИМВОЛЬНОГО ПРИЕМА ЧАСТОТНО-ЭФФЕКТИВНЫХ СИГНАЛОВ

Одной из важных характеристик рассматриваемых КАМ-М и АФМ-М сигналов  $s(t)$  является коэффициент частотной эффективности  $m = \log_2 M$  (бит/с/Гц), задающий максимальную информационную скорость  $R = m\Delta F$  (бит/с) для канала с частотной полосой  $\Delta F$  (Гц) [1, 2].

Рассматриваемые цифровые сигналы  $s(t)$  задаются соотношением [1]

$$s(t) = \sum_i A_i U(t) \cos(2\pi f t + \phi_i). \quad (2)$$

Здесь  $f$  — центральная частота;  $U(t) = 1$  при  $iT \leq t < (i+1)T$  и  $U(t) = 0$  в противном случае;  $A_i$ ,  $\phi_i$  — амплитуда и фаза радиоимпульсов в составе  $s(t)$ , дискретные значения которых задают тип “созвездия”;  $T$  — тактовые временные интервалы.

Данные сигналы формируются путем отображения  $m$  двоичных информационных символов в символы “созвездия”, как правило, с использованием кода Грэя для повышения надежности передачи информации — соседние символы “созвездия” отличаются лишь в одном из информационных битов задающих последовательностей [2].

Пример “созвездия” для АФМ-16 сигналов ( $m = 4$  бит/с/Гц) представлен на рис. 1 — приведены законы отображения четырех информационных битов  $\alpha_p(b_i)$  ( $p = 0, 1, 2, 3$ ) в символы “созвездия” (в комплексные огибающие  $\dot{V}_i = A_i \exp(j\phi_i)$ ) [5].

Класс сигналов КАМ-М ( $M = 2, 4, 6, 8$ ), определяемых протоколом 3GPP, задаются аналитическими соотношениями [6]. Примером являются сигналы АФМ-16 ( $m = 4$  бит/с/Гц), комплексные огибающие которых задаются последовательностью четырех двоичных битов  $\alpha_p(b_i)$  ( $p = 0, 1, 2, 3$ ):

$$\begin{aligned} \dot{V}_i = & [(1 - 2\alpha_0(i))[2 - (1 - 2\alpha_2(i))] + \\ & + j[(1 - 2\alpha_1(i))[2 - (1 - 2\alpha_3(i))]]. \end{aligned}$$

В табл. 1 приведен класс анализируемых в статье КАМ-М и АФМ-М сигналов в составе протоколов спутниковых информационных систем

DVB-S2, 3GPP [1, 5, 6] и используемых в системах спутниковой связи (CCC) [1, 2].

Апостериорные вероятности  $\Pr(a_i = \beta | \vec{Y})$  кодовых информационных символов рассматривающих сигнальных конструкций вычисляются с использованием выражения [10]

$$\Pr(a_i = \beta | \vec{Y}) = \sum_{\vec{B}: a_i = \beta} \Pr(\vec{B} | \vec{Y}) = \sum_{\vec{B}: a_i = \beta} \frac{\Pr(\vec{B})}{\Pr(\vec{Y} | \vec{B})} p(\vec{Y} | \vec{B}). \quad (3)$$

Здесь  $\Pr(\vec{B} | \vec{Y})$  – условная вероятность передачи кодового слова  $\vec{B}$  для реализации  $\vec{Y}$ ;  $p(\vec{Y} | \vec{B})$  – функция правдоподобия, определяемая для модели канала без памяти соотношением

$$p(\vec{Y} | \vec{B}) = \prod_{i=0}^{n-1} p(y_i | b_i).$$

Априорные вероятности полагаются равными  $\Pr(\vec{B}) = 2^{-mk}$ .

Сложность вычисления  $\Pr(a_i = \beta | \vec{Y})$  с использованием соотношения (3), определяется требуемым объемом вычислительных операций и оценивается как  $P_1 \approx 2^{mk}$ , что даже для малых значений  $m, k$  представляет трудоемкую задачу. В работах [9, 10] приведено описание разработанного алгоритма вычисления  $\Pr(a_i = \beta | \vec{Y})$  с существенно более низкой сложностью. Приведем общее описание этого алгоритма, чтобы пояснить особенности его применения для рассматриваемого класса частотно-эффективных сигналов.

Алгоритм состоит из трех этапов вычислений [10].

На первом этапе вычисляется множество спектральных составляющих  $C_l(r)$  с размерностью  $2^m$  для последовательностей  $p(\dot{y}_l | \dot{V}_i)$ ,  $i = 0, 1, \dots, 2^m - 1$ :

$$C_l(r) = \sum_{i=0 \dots 2^m-1} p(\dot{y}_l | \dot{V}_i) w_i(r), \quad r \in GF(2^m), \quad (4)$$

где  $l = 0, 1, \dots, n - 1$  – номер позиции кодовых символов;  $w_i(r)$  – базисные функции Уолша–Адамара с перемежением номеров  $i$  (закон перемежения может задаваться аналитически для определенного вида примитивного неприводимого многочлена

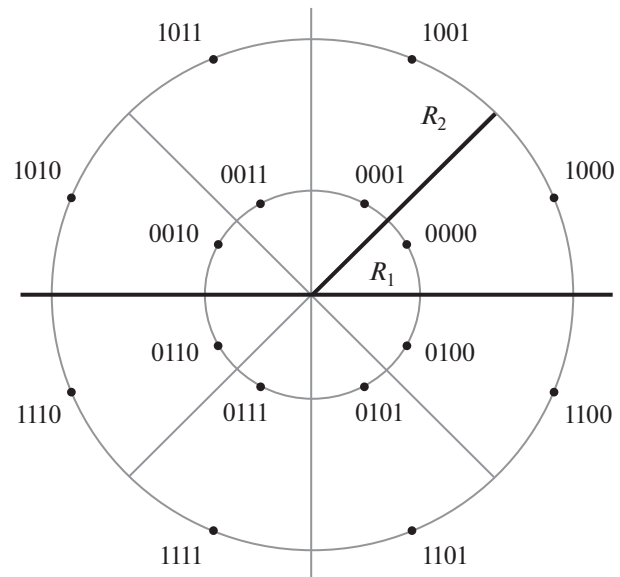


Рис. 1. Сигнальное “созвездие” АФМ-16 сигналов.

$\gamma(x)$  либо в виде таблицы, получаемой путем предварительной предобработки с целью установления правила перемежения [10]).

Нормированные отсчеты  $\dot{y}_l$  для квадратурных составляющих  $\text{Re}(\dot{y}_l)$ ,  $\text{Im}(\dot{y}_l)$  и канала АБГШ со спектральной плотностью  $N_0$  представляют случайные величины с средними

$$\sqrt{\frac{2mE_i}{N_0}} \cos(\phi_i), \quad \sqrt{\frac{2mE_i}{N_0}} \sin(\phi_i)$$

и с единичной дисперсией. Здесь  $E_i$  ( $i = 0, 1, \dots, M - 1$ ) – энергии сигнальных символов “созвездия” с огибающей  $\dot{V}_i$ , удовлетворяющие условию

$$E_6 = \frac{1}{M} \sum_{i=0}^{M-1} E_i,$$

$E_6$  – энергия на 1 бит. С учетом этого условные плотности вероятности  $p(\dot{y}_l | \dot{V}_i)$  в (4) определяются выражением [8]

$$p(\dot{y}_l | \dot{V}_i) = K \exp\left(-\|\dot{y}_l - \dot{V}_i\|^2 / 2\right), \quad (5)$$

Таблица 1. Значения  $E_6/N_0$ , требуемые для достижения  $P_0 = 10^{-5}$

Параметр	АФМ-8 DVB-S2	АФМ-16 DVB-S2	АФМ-16 3GPP	KAM-16 CCC	АФМ-64 DVB-S2	АФМ-64 3GPP	KAM-64 CCC
$E_6^{(1)} / N_0$ , дБ	17.5	15.0	15.0	16.0	19.5	17.5	18.5
$E_6^{(2)} / N_0$ , дБ	16.0	13.5	12.0	14.0	17.0	15.5	15.75
$\Delta E$ , дБ	1.5	1.5	3.0	2.0	2.5	2.0	2.75

Примечание:  $E_6^{(1)} / N_0$  – без кода;  $E_6^{(2)} / N_0$  – с кодированием,  $\Delta E$  – энергетический выигрыш.

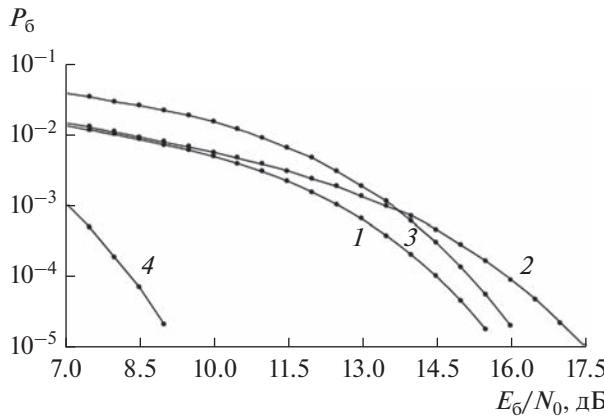


Рис. 2. Вероятности ошибки при приеме сигналов АФМ-8 (DVB-S2): 1 – с использованием корректирующего кода; 2 – без кодирования; 3 – для  $\alpha_1$  и  $\alpha_2$  элементов “созвездия”; 4 – для  $\alpha_0$  элементов “созвездия”.

$\|x\|$  – Евклидова метрика;  $K$  – постоянная нормировка.

На втором этапе вычисляется спектральное множество:  $\{T_l(\lambda)\}$

$$T_l(\lambda) = \sum_{\beta=0 \dots 2^m-1} \Pr(b_l = \beta | \vec{Y}) w_\beta(\lambda), \quad \lambda \in GF(2^m). \quad (6)$$

Производительная процедура вычисления  $\{T_l(\lambda)\}$  (6) основана на использовании величин  $C_l(r)$  и множества кодовых слов  $R$  кода  $C_H$  с параметрами  $(n, n-k)$  дуального к используемому корректирующему коду [10]:

$$T_l(\lambda) = \frac{\sum_{r_p: R \in C_H} C_l(r_l - \lambda) \prod_{p=0}^{n-1} C_p(r_p)}{\sum_{r_p: R \in C_H} \prod_{p=0}^{n-1} C_p(r_p)}. \quad (7)$$

Обозначение  $r_p: R \in C_H$  в (7) определяет арифметические операции для последовательности кодовых символов  $r_p$  в составе кодового слова  $R$  кода  $C_H$ .

На третьем этапе вычисляются апостериорные вероятности  $\Pr(b_l = \beta | \vec{Y})$  путем обратного спектрального преобразования в базисе Уолша–Адамара размерностью  $2^m$  над множеством  $\{T_l(\lambda)\}$ :

$$\Pr(b_l = \beta | \vec{Y}) = \sum_{\lambda=0 \dots 2^m-1} T_l(\lambda) w_\beta(\lambda). \quad (8)$$

Решение относительно переданного символа  $b_l$  и информационных символов  $\alpha_p(b_l)$ ,  $p = 0, 1, \dots, m-1$  принимается в соответствии с правилом (1).

Сложность вычисления соотношения (3) оценивается приведенным выше значением  $P_1$ , сложность вычисления (4), (7), (8) оценивается как  $P_2 \geq 2^{m(n-k)}$ , для значений  $n-k \ll k$  справедливо условие  $P_2 \ll P_1$ .

Наиболее простым является рассматриваемый алгоритм посимвольного приема для сигнальных конструкций на основе кодов с проверкой на четность. В этом случае множество кодовых слов  $R$  дуального кода  $C_H$  с параметрами  $(k+1, 1)$  содержит  $2^m$  последовательностей кодовых символов одинаковых элементов  $\alpha \in GF(2^m)$  длительностью  $k+1$  [7, 8, 14–18].

### 3. РЕЗУЛЬТАТЫ МОДЕЛИРОВАНИЯ

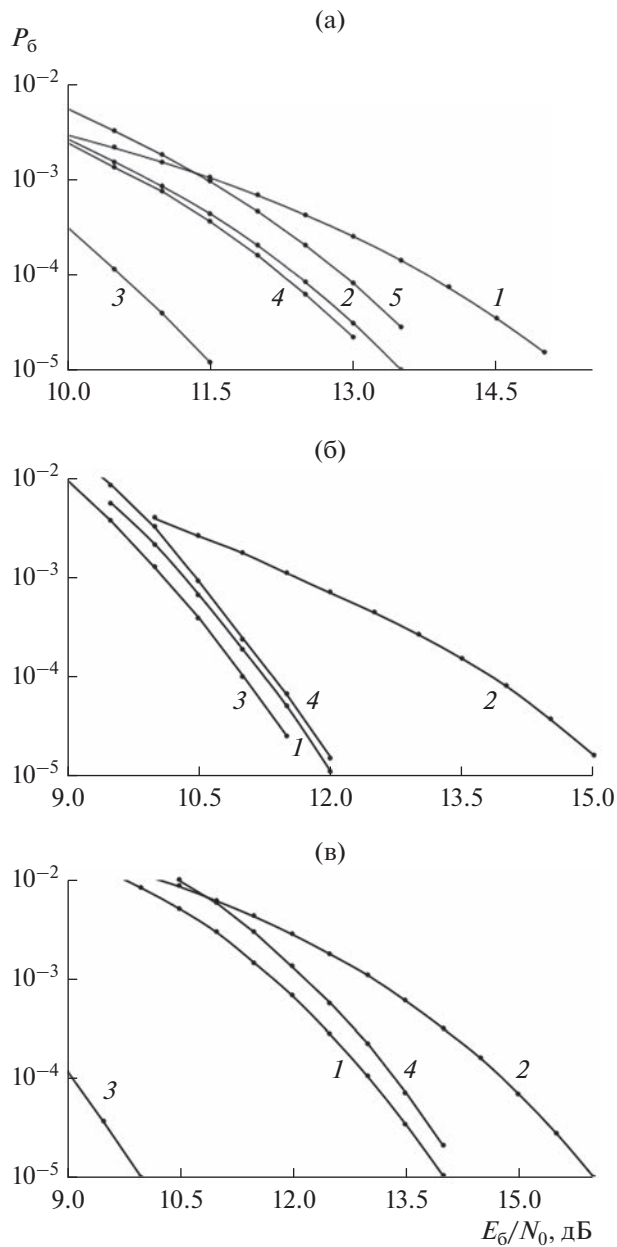
При моделировании алгоритма оптимального посимвольного приема задавалась передаваемая по каналу АБГШ случайная информационная последовательность объемом  $\approx 100$  битов [19], значения  $k$  равны соответственно 33, 25 и 16 для рассматриваемых сигнальных “созвездий” объемом  $2^3, 2^4$  и  $2^6$ .

В табл. 1 приведены результаты моделирования, полученные для рассматриваемого ряда частотно-эффективных сигналов АФМ-8, АФМ-16, КАМ-16, АФМ-64 и КАМ-64 [1, 5, 6]. Приведены параметры: средние значения сигнал/помеха  $E_6/N_0$ , требуемые для достижения вероятности ошибки  $P_6 = 10^{-5}$  без корректирующего кодирования и с кодированием с проверкой на четность в полях Галуа  $GF(2^m)$  ( $m = 3, 4, 6$ ) и соответствующие значения энергетических выигрышей  $\Delta E$ .

На рис. 2 и 3 представлены усредненные вероятностные кривые для сигнальных конструкций на основе “созвездия” АФМ-8 (DVB-S2, см. рис. 1), “созвездий” АФМ-16 и КАМ-16. Кривые 1 соответствуют использованию рассматриваемого корректирующего кода, кривые 2 – без кодирования. Подобные вероятностные кривые получены также и для сигнальных конструкций на основе “созвездий” АФМ-64 и КАМ-64.

Из табл. 1 и рис. 2, 3 следует, что энергетические выигрыши  $\Delta E$  зависят от типа и объемов  $2^m$  сигнальных “созвездий” – для  $P_6 = 10^{-5}$  значения  $\Delta E$  при использовании рассматриваемой простой схемы кодирования достигают значимых величин 1.5...3.0 dB.

Моделирование алгоритма оптимального посимвольного приема рассматриваемых сигнальных конструкций показало зависимость вероятностей ошибки  $P_6$  от положения (номера) информационных битов в составе сигнального “созвездия”. Дан-



**Рис. 3.** Вероятности ошибки при приеме сигналов АФМ-16: 1 – с использованием корректирующего кода; 2 – без кодирования; а) DVB-S2: 3 – для  $\alpha_0$ , 4 – для  $\alpha_1$  и  $\alpha_2$ , 5 – для  $\alpha_3$  элементов “созвездия”; б) 3GPP: 3 – для  $\alpha_0$  и  $\alpha_1$ , 4 – для  $\alpha_2$  и  $\alpha_3$  элементов “созвездия”; в) КАМ-16: 3 – для  $\alpha_0$  и  $\alpha_2$ , 4 – для  $\alpha_1$  и  $\alpha_3$  элементов “созвездия”.

ное свойство является полезным для усиления помехоустойчивости старших значимых передаваемых битов, например, при передаче телеметрической информации [20].

На рис. 2 кривая 3 соответствует зависимости вероятности ошибки  $P_6$  от  $E_b/N_0$  для значений  $\alpha_1$

и  $\alpha_2$  в представлении элементов “созвездия” АФМ-8 сигналов, кривая 4 – для  $\alpha_0$ . Видно, что для  $P_6 = 10^{-5}$  отличия вероятностных характеристик достигают значения 6.75 дБ.

На рис. 3а кривая 3 соответствует вычисленной вероятностной характеристике для  $\alpha_0$  в представлении элементов “созвездия” АФМ-16 сигналов DVB-S2, кривая 4 – для  $\alpha_1$  и  $\alpha_2$ , кривая 5 – для  $\alpha_3$ . В этом случае отличия вероятностных характеристик по отношению к кривой 3 достигают 1.75 и 2.25 дБ соответственно.

На рис. 3б кривая 3 соответствует вероятностной характеристике для  $\alpha_0$  и  $\alpha_1$  в представлении элементов “созвездия” АФМ-16 сигналов 3GPP, кривая 4 – для  $\alpha_2$  и  $\alpha_3$ : отличия вероятностных характеристик по отношению к кривой 3 достигают 0.25 дБ.

На рис. 3в кривая 3 соответствует вероятностной характеристике для  $\alpha_0$  и  $\alpha_2$  в представлении элементов “созвездия” КАМ-16 сигналов, кривая 4 – для  $\alpha_1$  и  $\alpha_3$ : отличия характеристик по отношению к кривой 3 достигают 4.0 дБ.

Подобные вероятностные кривые вычислены также и для сигнальных “созвездий” АФМ-64 (DVB-S2), АФМ-64 (3GPP) и КАМ-64 (CCC). В табл. 2 приведены вычисленные значения  $E_b/N_0$ , требуемые для достижения вероятности ошибки  $P_6 = 10^{-5}$  для информационных двоичных символов  $\alpha_p$  ( $p = 0, 1, \dots, m$ ) в зависимости от их расположения в составе “созвездий”.

## ЗАКЛЮЧЕНИЕ

Дано описание алгоритма оптимального посимвольного приема сигнальных конструкций на основе сигнальных “созвездий” частотно-эффективных цифровых сигналов с квадратурно-амплитудной и амплитудно-фазовой манипуляциями и блоковых помехоустойчивых кодов в недвоичных полях Галуа  $GF(2^m)$ . Правило посимвольного приема минимизирует вероятность ошибки на информационный бит в отличие от известного правила максимального правдоподобия, минимизирующего вероятность ошибки на дискретное сообщение.

Основу анализируемого алгоритма оптимального посимвольного приема составляет алгоритм быстрого спектрального преобразования в базисе Уолша–Адамара с размерностью поля Галуа  $2^m$ . Результатирующая сложность алгоритма посимвольного приема определяется размерностью двоичного кода, что обуславливает перспективность его применения для блоковых помехоустойчивых кодов с высокой кодовой скоростью.

**Таблица 2.** Значения  $E_b/N_0$ , требуемые для достижения  $P_b = 10^{-5}$  для информационных битов 0...5 сигнальных “созвездий”

Сигналы	0	1	2	3	4	5
АФМ-8 DVB-S2	16.0	9.25	9.25	—	—	—
АФМ-16 DVB-S2	11.5	13.25	13.25	13.75	—	—
АФМ-16 3GGP	11.75	11.75	12.0	12.0	—	—
KAM-16	10.0	14.0	10.0	14.0	—	—
АФМ-64 DVB-S2	17.0	16.5	17.0	17.0	16.75	16.5
АФМ-64 3GGP	16.0	14.75	15.5	15.25	15.5	15.5
KAM-64	15.75	15.5	15.75	15.25	15.25	15.0

Исследование вероятностных характеристик рассматриваемого алгоритма посимвольного приема произведено путем его моделирования для сигнальных конструкций на основе интенсивно используемых в приложениях частотно-эффективных цифровых сигналов с коэффициентом частотной эффективности 3...6 бит/с/Гц в полях Галуа  $GF(2^3)$ ,  $GF(2^4)$ ,  $GF(2^6)$  и для кодов с проверкой на четность с добавлением лишь одного проверочного символа. Показано, что применение алгоритма посимвольного приема обеспечивает энергетический выигрыш до 1.5...3.0 dB по отношению к передаче и приему рассматриваемого ряда сигналов без кодирования.

Показана также зависимость вероятностей ошибки  $P_b$  от положения информационных битов в составе сигнального “созвездия”, что является полезным свойством для усиления помехоустойчивости старших значимых битов при передаче телеметрической информации.

#### ФИНАНСИРОВАНИЕ РАБОТЫ

Работа выполнена в рамках государственного задания ИРЭ им. В.А. Котельникова РАН № 075-01110-23-01.

#### СПИСОК ЛИТЕРАТУРЫ

1. Proakis J.G., Salehi M. Digital Communication. 5th ed. N.Y.: McGraw-Hill, Hugher Education, 2001.
2. Скаляр Б. Цифровая связь. Теоретические основы и практическое применение. М.: ИД “Вильямс”, 2003.
3. Волков Л.Н., Немировский М.С., Шинаков Ю.С. Системы цифровой радиосвязи. Базовые методы и характеристики. М.: Эко-Трендз, 2005.
4. Бакулин М.Г., Крейндельин В.Б., Панкратов Д.Ю. Технологии в системах радиосвязи на пути к 5G. М.: Горячая линия—Телеком, 2018.
5. Second Generation Framing Structure, Channel Coding and Modulation Systems for Broadcasting, Interac-
- tive Services, News Gathering and Other Broadband Satellite Applications. Part 2: DVB-S2 Extensions (DVB-S2X) DVB. Document A083-2. European Broadcasting Union CH-1218, Geneva, 2020. Режим доступа: [https://dvb.org/wp-content/uploads/2019/10/A083-2\\_DVB-S2X\\_Draft-EN-302-307-2-v121\\_Feb\\_2020.pdf](https://dvb.org/wp-content/uploads/2019/10/A083-2_DVB-S2X_Draft-EN-302-307-2-v121_Feb_2020.pdf).
6. ATIS 3GPP SPECIFICATION, 3GPP TS 38.211 V16.2.0 (2020-06): 3rd Generation Partnership Project; Technical Specification Group Radio Access Network; NR; Physical channels and modulation (Release 16). Published by Alliance for Telecommunications Industry Solutions, Washington, 2020.
7. Питерсон У., Уэлдон Э. Коды, исправляющие ошибки. М.: Мир, 1976.
8. Назаров Л.Е., Батанов В.В. // РЭ. 2022. Т. 67. № 8. С. 782.  
<https://doi.org/10.31857/S0033849422080137>
9. Bahl L.R., Cocke J., Jelinek F., Raviv J. // IEEE Trans. 1974. V. IT-20. № 3. P. 284.
10. Смоляников В.М., Назаров Л.Е. // РЭ. 1999. Т. 44. № 7. С. 838.
11. Johnson S.J. Iterative Error Correction: Turbo, Low-Density Parity-Check and Repeat-Accumulate Codes. Cambridge: Univ. Press, 2010.
12. Назаров Л.Е., Головкин И.В. // РЭ. 2010. № 10. С. 1193.
13. Терешонок М.В., Кленов Н.В., Лобов Е.М. и др. // РЭ. 2022. Т. 67. № 3. С. 294.  
<https://doi.org/10.31857/S0033849422030160>
14. Ping Li, Chan S., Yeng K.L. // Electronic Lett. 1997. V. 33. № 19. P. 1614.
15. Steiner F., Bocherer G., Liva G. // IEEE Commun. Lett. 2018. V. 22. № 11. P. 2210.
16. Lin S.-J. // IEEE Trans. 2018. V. COM-66. № 8. P. 3235.
17. Назаров Л.Е., Шишкин П.В. // РЭ. 2019. № 9. С. 910.
18. Kaipa K. // IEEE Commun. Lett. 2018. V. 22. № 11. P. 2210.
19. Боровков А.А. Математическая статистика. Оценка параметров. Проверка гипотез. М.: Наука, 1984.
20. Назаров Л.Е. // РЭ. 1999. Т. 44. № 10. С. 1231.